



## محاسبه میزان دز پرتوهای ترمی ناشی از الکترون‌ها در پرتو درمانی با الکترون در بیمارستان آیت‌الله خوانساری اراک

مهسا حسینی<sup>\*</sup>، سعید حمیدی<sup>۱</sup>، فتح الله محقق<sup>۲</sup>، مليحه رستم‌پور<sup>۱</sup>، علی محمدی<sup>۱</sup> و زهراء غلامی<sup>۱</sup>

<sup>۱</sup>دانشکده علوم پایه، دانشگاه اراک، مرکزی، ایران.

<sup>۲</sup>دانشگاه علوم پزشکی اراک، مرکزی، ایران.

<sup>\*</sup>مرکزی، اراک، دانشگاه اراک، دانشکده علوم پایه، کد پستی: ۳۸۱۵۶-۸۷۹

پست الکترونیکی: hosseini.mahsa2011@gmail.com

### چکیده

هنگام پرتو درمانی بیماران با پرتوهای الکترونی، به دلیل برهم‌کش الکترون‌ها با اجزای مختلف سر شتاب دهنده خطی، فانتوم یا بدن بیمار، مقداری اشعه ایکس ناخواسته تولید می‌شود، لذا برای محاسبه دز آلوودگی فوتون ترمی ناشی از برهم‌کنش باریکه‌های الکترونی شتاب دهنده خطی پزشکی الکتا Precise واقع در بیمارستان آیت‌الله خوانساری اراک، ابتدا میزان تولید دز پرتوهای ترمی در انرژی‌های ۱۰ و ۱۵ MeV با استفاده از آشکارسازهای ترمولومینسانس اندازه‌گیری شد، سپس این مقادیر با نتایج حاصل از شبیه‌سازی اتاق رادیوتراپی و دستگاه لیناک با کد MCNPX مقایسه شد. ضمن همخوانی مناسب بین داده‌های تئوری و تجربی در هر دو انرژی مذکور، نتایج بدست آمده دز حاصل از پرتوهای ترمی نسبت به دز الکترون تابشی را روی سطح فانتوم به طور متوسط، ۲ تا ۵ درصد و در محدوده میلی سیورت برآورد می‌کند.

کلیدواژگان: باریکه‌های الکترونی، پرتوهای ترمی، آلوودگی فوتونی، کد مونت کارلو، شتاب دهنده خطی پزشکی.

### ۱. مقدمه

از اوایل دهه ۱۹۵۰ [۱] الکترون‌های پرانرژی در رادیوتراپی استفاده می‌شده است. در دهه ۱۹۷۰ [۱] شتاب دهنده‌های خطی با قابلیت تولید الکترون و فوتون‌های با انرژی بالا گسترش یافته‌ند. گستره مفید انرژی‌های الکترون در کلینیک از ۶ تا ۲۰ MeV است. الکترون‌ها در این گستره انرژی برای درمان تومورهای سطحی (کمتر از ۵ سانتی‌متر عمق) مفیدند و از ویژگی‌های منحصر به فرد درمان با آن‌ها، می‌توان به توزیع یکنواخت دز در حجم هدف و همچنین کاهش دز به بافت‌های عمقی تر اشاره کرد [۱].

[۲]. علت اصلی پیدایش این فوتون‌ها وارد شدن نیروی قوی

کولنی از سمت هسته اتم محیط جاذب به ذره باردار (در اینجا الکترون) است که با افزایش یا کاهش ناگهانی شتاب، موجب می‌شود سرعت ذره باردار به سرعت تغییر کند. الکترون‌ها در برهم‌کنش با مواد با آهنگ متفاوتی کند می‌شوند. بنابراین، فوتون‌های برمشترالانگ (اشعة X)، طیف انرژی پیوسته با دامنه‌ای رو به پایین خواهند داشت. به منظور برآورد میزان تابش ترمی از پرتو الکترون، از رابطه تجربی زیر بهره می‌بریم:

$$f_{\beta} = 3.5 \times 10^{-4} Z E_m \quad (1)$$

بیشینه انرژی الکترون بر حسب  $Z, MeV$  عدد اتمی

ماده هدف و  $f_{\beta}$  سهمی از انرژی الکترون است که به اشعه ایکس تبدیل می‌شود. مابقی انرژی الکترون‌های فرودی نیز

هنگام پرتو درمانی بیماران با پرتوهای الکترونی به دلیل پراکنده شدن الکترون‌ها در محیط و برهم‌کنش آن‌ها با اجزای مختلف سر شتاب دهنده، فوتون‌های برمشترالانگ تولید می‌شوند

مونت کارلو و اندازه‌گیری نشت پرتو از اپلیکاتورها در پرتو درمانی خارجی با الکترون، مورد توجه قرار گرفته است و بستگی میزان تولید شار فوتونی به ابعاد اپلیکاتور و انرژی باریکه الکترون فروودی بررسی شده است [۸].

در این تحقیق، مد الکترونی شتاب‌دهنده خطی الکتا مدل Precise بخش رادیوتروپی بیمارستان آیت‌الله خوانساری اراک، مدنظر قرار گرفته شد. همان‌طور که قبل‌آن نیز بیان شد، میزان تولید پرتوهای ترمزی، بسته به انرژی الکترون‌های فروودی و همچنین جنس و ابعاد اجزای شتاب‌دهنده که در مسیر عبور پرتو قرار دارند، متغیر است. دستگاه شتاب‌دهنده خطی الکتا Precise، در مد الکترونی دارای ۵ پرتو با انرژی‌های ۶، ۸، ۱۰، ۱۵ و ۱۸ MeV است. بنابراین در این تحقیق، آلودگی فوتون ترمزی در دو انرژی ۱۰ و ۱۵ MeV، مورد مطالعه قرار داده شد تا علاوه بر تحقیق تأثیر میزان سهم انرژی در تولید این آلودگی، سهم متفاوت بودن ابعاد اجزای شتاب‌دهنده (از جمله متفاوت بودن ضخامت فویل‌های پراکنده) نیز در تولید تابش ترمزی بررسی شود. لذا هدف از انجام این مطالعه، بررسی تجربی میزان تولید پرتوهای فوتون ترمزی با استفاده از آشکارسازهای ترمولومینسانس (TLD-۷۰۰ و GR-۲۰۰) و مقایسه این مقادیر با نتایج حاصل از شبیه‌سازی اتاق رادیوتروپی و دستگاه لیناک با کد MCNPX است.

## ۲. روش کار

شتاب‌دهنده خطی الکتا Precise به منظور تولید پرتوهای پرانرژی الکترون و فوتون برای کاربردهای پزشکی طراحی شده است. اصول کار دستگاه شتاب‌دهنده خطی الکتا Precise بر مبنای شتاب‌دهی به الکترون‌ها و استفاده مستقیم از آن‌ها در درمان تومور (الکترون‌ترابی) یا استفاده از پرتوهای ترمزی حاصل از برخورد پرتو الکترونی با هدف تنگستنی است. سر شتاب‌دهنده خطی Precise در مد الکترونی مت Shank از فویل پراکنده اولیه، کولیماتور نخستین، فویل پراکنده ثانویه، محفظه یونیزاسیون، آینه، فک‌های X و Y و اپلیکاتور الکترون است. در

سبب تحریک و یونیزاسیون اتم‌های محیط و تولید الکترون‌های ثانویه می‌شوند. گاهی ممکن است الکترون خروجی از اتم یونیزه شده انرژی قابل توجهی را دریافت کرده باشد و حتی بعد از ترک اتم مادر هنوز، انرژی جنبشی لازم و کافی برای تولید یون‌های بعدی را داشته باشد. این الکترون‌ها را اشعه دلتا می‌نامند که به‌طور غیرمستقیم نشان می‌دهد انرژی ذره باردار به محیط جاذب متقل شده است. با توجه به معادله (۱) مشاهده می‌شود که سهم تولید تابش ترمزی با افزایش انرژی الکترون‌های فروودی و همچنین افزایش عدد اتمی محیط جاذب افزایش می‌یابد [۳]. بنابراین، سهم عمده آلودگی فوتونی در اینجا ناشی از قرارگرفتن اجزای مختلف سر شتاب‌دهنده خطی بر سر راه پرتو الکترونی و همچنین درصد ناچیزی از آن به‌دلیل برهم‌کنش پرتو با فانتم خواهد بود [۴]. شکل هندسی و جنس هریک از این اجزا می‌تواند نقش مؤثری در تولید دز پرتوهای ترمزی ناشی از باریکه‌های الکترونی ایفا کند. بنابراین، پارامترهای باریکه الکترونی تولید شده در شتاب‌دهنده‌های خطی تولید شرکت‌های مختلف، متفاوت خواهد بود و این پارامترها برای هر ماشین باید به‌طور جداگانه توضیح داده شوند [۳-۶]. به این منظور، بررسی‌های بسیاری روی لینک‌های مختلف انجام شده است که در ذیل، به‌طور مختصر به چند مورد اشاره شده است. در یکی از این مطالعات، آلودگی فوتونی ناشی از پرتوهای ترمزی در باریکه‌های الکترونی شتاب‌دهنده خطی پژوهشکی نپتون مدل 10PC به روش مونت کارلو بررسی شد و دز آلودگی فوتون ترمزی در سطح فانتم و در میدان مرجع برای سه انرژی شتاب‌دهنده، در حدود ۲۰/۰ تا ۵/۰ درصد حداکثر دز برآورد شده است [۴]. در تحقیق دیگر، میزان تابش ترمزی و فوتون-نوترون‌های تولید شده در شتاب‌دهنده خطی الکترون با انرژی بالا با استفاده از آشکارسازهای ترمولومینسانس اندازه‌گیری شده است [۷]. در یک پژوهش نیز، شبیه‌سازی

شیوه‌سازی TLD‌ها را برای انرژی‌های ۱۰ و ۱۵ MeV توسط برنامه MCNPX نمایش داده‌اند.

## ۲.۲. اندازه‌گیری‌های تجربی

برای اعتباردهی به نتایج به‌دست‌آمده از طریق شیوه‌سازی، با استفاده از آشکارسازهای ترمولومینسانس از نوع LiF نیز به صورت تجربی اندازه‌گیری‌هایی انجام شد تا برآورده از میزان آلدگی فوتون برمشترالانگ در این نقاط انتخابی به‌دست آید. بلور لیتیوم فلوراید (LiF) معمول‌ترین بلور TLD برای ڈیمتری فردی است. محدوده پاسخ این دزیمتر ۰.۱۰ mSv تا ۱۵ Sv است و قابلیت استفاده مکرر دارد. مزیت دیگر این دزیمتر، نزدیکی عدد اتمی مؤثر آن با بافت‌های بدن است. بنابراین، در محدوده بزرگی از انرژی، دز آن مشابه دز بافت است. به همین دلایل ذکر شده، استفاده از TLD‌های از نوع LiF در رادیوتروپی ارجحیت دارد [۱۱]. در جدول (۱) شرایط انجام آزمایش در هر دو انرژی، ۱۰ و ۱۵ MeV آورده شده است.

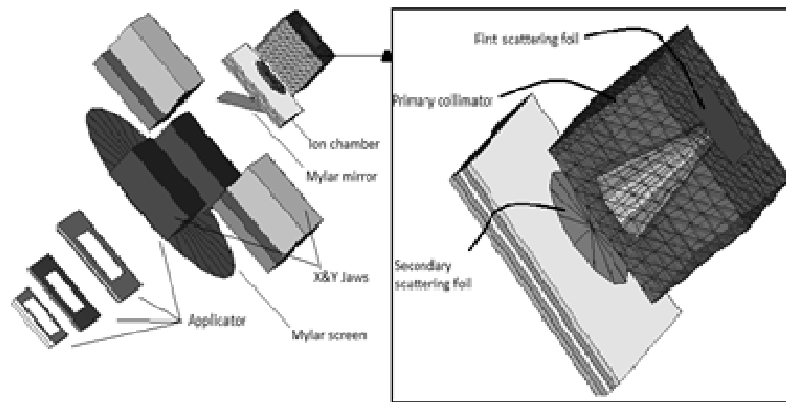
برای انجام آزمایش در انرژی ۱۰ MeV، از ۴ عدد دزیمتر GR-۲۰۰ استفاده شد. TLD GR-۲۰۰ لیتیوم فلوراید به همراه ۲٪ ناخالصی فسفر، منیزیم و مس (LiF:Mg,Cu,P) و ساخت کشور چین است. این TLD‌ها به صورت قرص‌هایی با ارتفاع ۰.۰۸ cm و شعاع ۲۲۵/۰ cm می‌باشند. در این آزمایش، یکی از TLD‌ها را به عنوان دزیمتر محیطی انتخاب کرده و TLD۳ دیگر در نقاط ذکر شده در جدول (۲) قرار داده شد. برای اندازه‌گیری میزان آلدگی فوتونی درون فانتوم، یک دزیمتر در عمق فانتوم قرار گرفت. به‌دلیل متفاوت بودن نوع ناخالصی موجود در TLD‌های GR-۲۰۰ و TLD-۷۰۰، از GR-۲۰۰ حساسیتی ۳۰ برابر بیشتر نسبت به TLD-۷۰۰ دارد، بنابراین برای دزیمتری در انرژی پایین‌تر (۱۰ MeV)، استفاده از این نوع TLD ترجیح داده شد.

شکل (۱) نمایی از سر شتاب‌دهنده شیوه‌سازی شده توسط برنامه MCNPX نمایش داده شده است. اطلاعات مورد نیاز برای شیوه‌سازی از شرکت سازنده به‌دست آمد.

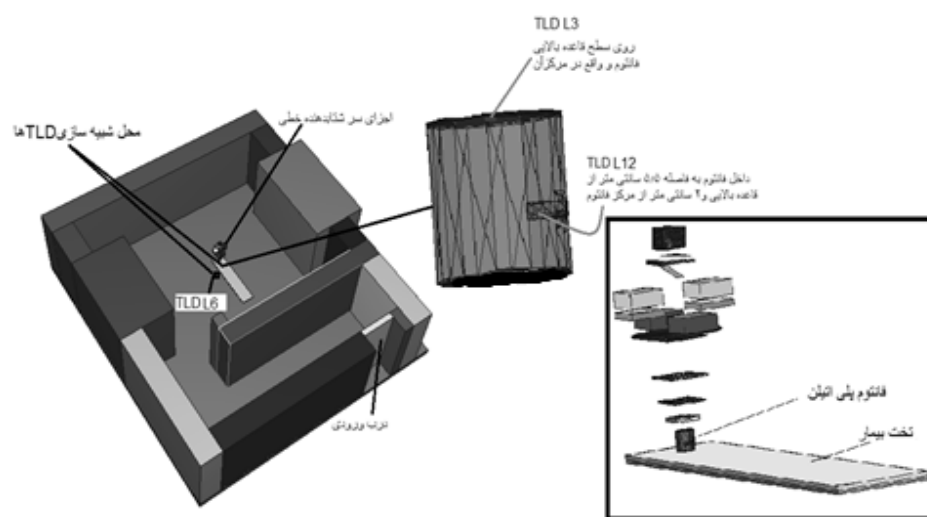
## ۱.۲. شیوه‌سازی سیستم در رادیوتروپی با کد MCNPX

کد مونت کارلویی N ذره‌ای چندمنظوره است که برای محاسبات هسته‌ای مورد استفاده قرار می‌گیرد. همه فرایندهای فیزیکی، اعم از عبور و برهم‌کنش پرتو با ماده، جایی که توزیع احتمال حاکم بر رویداد شناخته شده است، طبیعت کاتورهای دارند. به‌دلیل طبیعت آماری و کاتورهای محاسبات در کد MCNP، این کد ابزار مناسبی برای مدل کردن این فرایندها و همچنین برای کاربردهای محاسباتی در رادیوتروپی است [۹]. این الگوریتم‌ها فرایندهای فیزیکی را که در طی آن‌ها انرژی پرتو در بافت انباست می‌شود، شیوه‌سازی می‌کنند [۱۰].

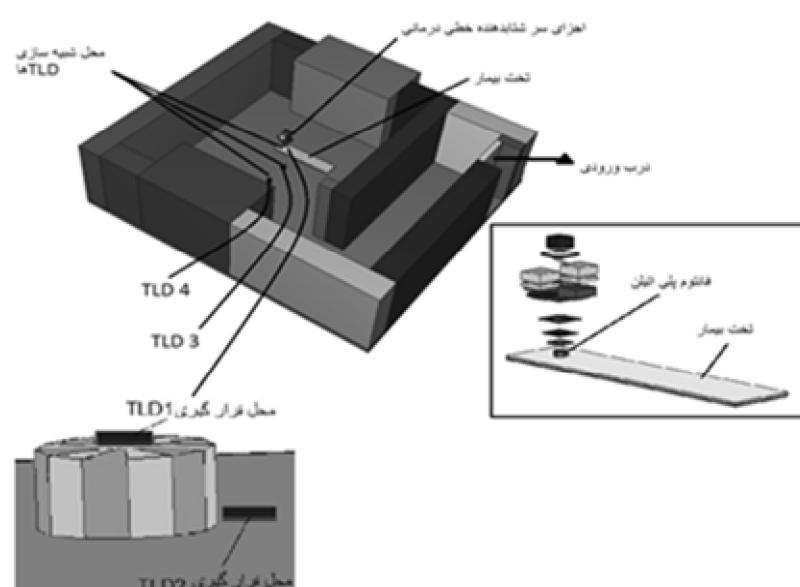
در این شیوه‌سازی، چشمۀ الکترونی به صورت یک دیسک دایره‌ای با قطر ۱ mm در نظر گرفته شد. طیف انرژی چشمۀ الکترونی نیز با استفاده از نرمافزار Origin به صورت یک تابع گوسی و با  $\text{FWHM} = 10\%$  برای انرژی‌های ۱۰ و ۱۵ MeV مدل شد. در هردوی شیوه‌سازی‌ها، انرژی قطع برای تراپرید الکترون و فوتون برابر با ۱۰ MeV در نظر گرفته شد. علاوه بر موارد ذکر شده، آشکارسازهای ترمولومینسانس نیز در کد MCNPX شیوه‌سازی شدند و برای تعیین مقادیر دز جذب شده در شیوه‌سازی، از تالی F6 استفاده شد. مقادیر محاسبه شده دز مجموع در تالی F6 در فایل خروجی MCNPX، بر حسب MeV/g می‌باشند که به‌ازای یک ذره توسط کد نرم‌افزار شده‌اند. بنابراین، ابتدا این مقادیر را به دز معادل بر حسب میلی سیورت تبدیل کرده و سپس در شدت چشمۀ الکترونی ضرب کرده تا نتایج حاصل قابل مقایسه با نتایج به‌دست‌آمده از تجربه شوند. شکل‌های (۲) و (۳) نمای کاملی از شیوه‌سازی قسمت‌های مختلف اتاق رادیوتروپی اعم از سر دستگاه، فانتوم پلی‌ایلنی، تخت بیمار، اتاق درمان و همچنین محل



شکل ۱: نمای سه بعدی از هندسه شبیه‌سازی شده سر شتاب‌دهنده خطی



شکل ۲: نمای سه بعدی از هندسه شبیه‌سازی شده اتاق درمان در انرژی  $10\text{ MeV}$



شکل ۳: نمای سه بعدی از هندسه شبیه‌سازی شده اتاق درمان در انرژی  $15\text{ MeV}$

نیز قبل از پرتودهی، به مدت ۱۰ دقیقه در دمای  $240^{\circ}\text{C}$  گرماتابی انجام می‌شود. کالیبراسیون این TLD‌ها با چشمۀ CS-۱۳۷ انجام شده است.

### ۲.۲.۲. قرائت TLD‌ها

پس از پرتودهی TLD‌های GR-۲۰۰، آن‌ها را به مدت ۲۴ ساعت در محیطی بدون چشمۀ رادیواکتیو قرار می‌دهند. سپس به مدت ۱۰ دقیقه در کوره  $100^{\circ}\text{C}$  پیش‌گرمادهی می‌کنند. این اقدامات به منظور واپاشی پیک‌های کم دما و حذف نویزهای قرائت TLD‌هاست. قرائت TLD‌های GR-۲۰۰ در دستگاه قرائت‌گر Harshaw مدل ۴۵۰۰ انجام شده است. بلورهای TLD GR-۲۰۰ با استفاده از روش تماس با یک سینی که توسط جریان الکتریکی گرم می‌شود و در درون یک TLD متوجه قرار دارد، حرارت می‌بیند و هر بار تنها یک start را می‌توان قرائت کرد. بعد از قرار دادن TLD و زدن دکمه start دمای سینی به طور خطی از  $25^{\circ}\text{C}$  به  $300^{\circ}\text{C}$  به مدت یک دقیقه افزایش می‌یابد. در این دستگاه منحنی تابش بر حسب دما و زمان TLD رسم می‌شود که سطح زیر نمودار این منحنی، مقدار قرائت است. مقدار قرائت بر حسب نانوکولن (nC) است. در حین قرائت، از جریان گاز ازت در دستگاه استفاده می‌شود. علت استفاده از این گاز ایجاد شرایط یکسان برای قرائت تمام TLD‌هاست. اگر هوا هم متغیر نبود، از هوا هم می‌شد استفاده TLD، اما به دلیل تغییرات هوا مثل رطوبت و فشار و دما از گاز ازت استفاده می‌شود. علت دیگر، جذب پرتوهای مادون قرمز توسط گاز نیتروژن است. همچنین در برخی از سیستم‌ها برای گرم کردن TLD از گاز نیتروژن استفاده می‌شود. مزیت این روش کم کردن لومینسانس‌های شیمیایی و به حداقل رساندن تماس گرمایی بین TLD و ماده گرم‌کننده و چرخۀ گرمایی کوتاه از مرتبه ۱۰ ثانیه و سیگنال زمینه پایین است. میزان دز جذب شده توسط TLD‌های GR-۲۰۰، از رابطه (۲) بدست می‌آید.

$$R(\mu\text{c}) = 0.0879D(\text{mSv}) - 0.047 \quad (2)$$

که R میزان قرائت هر TLD توسط دستگاه قرائت‌گر و D میزان دز گامایی جذب شده توسط هر TLD است.

جدول ۱: شرایط انجام آزمایش‌ها برای انرژی‌های مدنظر در تجربه

تعداد دفعات	مدت زمان	بعاد فانتوم پلی	نوع	انرژی (MeV)	تکرار آزمایش
		اتیلنی استوانه‌ای		پرتودهی	(ثانیه)
۳۱	۱۰	شعاع ۵cm و ارتفاع ۱۰cm	GR-۲۰۰	۱۰	
۴	۲۰	شعاع ۵cm و ارتفاع ۵cm	TLD-۷۰۰	۱۵	

برای انجام آزمایش در انرژی  $15\text{MeV}$  نیز از ۵ عدد TLD-۷۰۰ استفاده شد. TLD-۷۰۰ از نوع (LiF: Mg, Ti) با درصد نسبی از ایزوتوپ‌های Li، شامل  $0.01\%$  ایزوتوپ  $\text{Li}^{+}$  و  $99.99\%$  ایزوتوپ  $\text{Li}^{7}$  و ساخت شرکت Harshaw امریکاست. این TLD‌ها به شکل مکعب مستطیل با ابعاد  $3\text{mm} \times 3\text{mm} \times 9/10\text{mm}$  و بر روی کارت دزیمتر طراحی شده‌اند. در اینجا نیز یکی از این TLD‌ها را به عنوان دزیمتر محیطی انتخاب کرده و ۴ TLD دیگر در نقاط ذکر شده در جدول (۳) قرار داده شد. ملاک انتخاب این نقاط، دزیمتری محیط پیرامون فانتوم است تا برآورده از میزان آلدگی فوتون ترمی در محیط اطراف فانتوم بدست آید. در هر دوی این آزمایش‌ها از اپلیکاتور  $10 \times 10 \text{ cm}^2$  استفاده شد و برای پرتودهی هر دو نوع  $=100 \text{ cm monitor unit} = 100 \text{ mu}$ ، دستگاه لیناک در TLD و  $\text{SSD} = 300 \text{ (mu/min)}$  تنظیم شد. شکل‌های (۴) و (۵) نمایی از انجام آزمایش در این دو انرژی و مکان قرارگرفتن TLD‌ها را نمایش می‌دهند.

### ۱.۲.۲. آماده‌سازی TLD‌ها

قبل از هر بار پرتودهی دزیمترها، برای خالی کردن دام‌های الکترونی، آن‌ها را گرماتابی می‌کنند. روش گرماتابی کارت دزیمتر TLD-۷۰۰ به این صورت است که ابتدا این کارت درون دستگاه قرائت‌گر قرار داده می‌شود و دما با آهنگ  $20^{\circ}\text{C}$  در ثانیه از  $300^{\circ}\text{C}$   $-300^{\circ}\text{C}$  افزایش می‌یابد. سپس کارت دزیمتر به مدت ۱۰ تا ۱۵ ثانیه در دمای  $300^{\circ}\text{C}$  باقی مانده و درنهایت، دما مجدداً کاهش می‌یابد. برای گرماتابی TLD‌های GR-۲۰۰

$RL$  = مقدار reference light برای هر چیز  
 $RL$  = مقدار میانگین reference light اندازه‌گیری شده در بین قرائت‌های TLD  
 $TL_{BG}$  = مقدار TL از دزیمتر محیطی  
 $ECC_{BG}$  = مقدار ECC از دزیمتر محیطی  
 $H_P$  = میزان دزگامای جذب شده توسط هر TLD  
 $K_P$  = فاکتور کالیبراسیون گاما = ۰.۰۷

شایان ذکر است که خطای اندازه‌گیری توسط TLD‌ها در تجربه به طور متوسط در محدوده ۱۰٪ است.

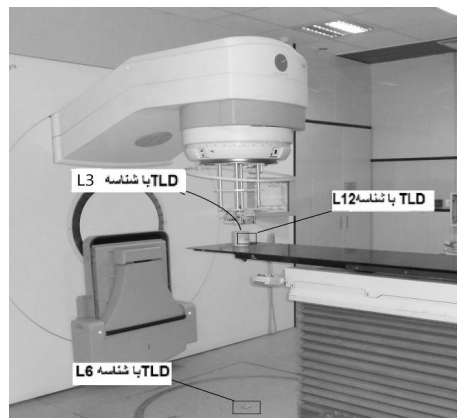
روش قرائت کارت دزیمتر TLD-۷۰۰، مشابه با روش گرماتاسی آن است. برای قرائت TLD-۷۰۰، از دستگاه قرائت‌گر Harshaw مدل ۶۶۰۰ بهره برده شد. همچنین میزان دز جذب شده توسط هر TLD-۷۰۰ از رابطه (۳) بدست می‌آید.

$$H_P(mSv) = (Tl(nc) \times RL_0 / RL \times ECC - TL_{BG} \times RL_0 / RL_{BG} \times Ecc_{BG}) \times K_P \quad (3)$$

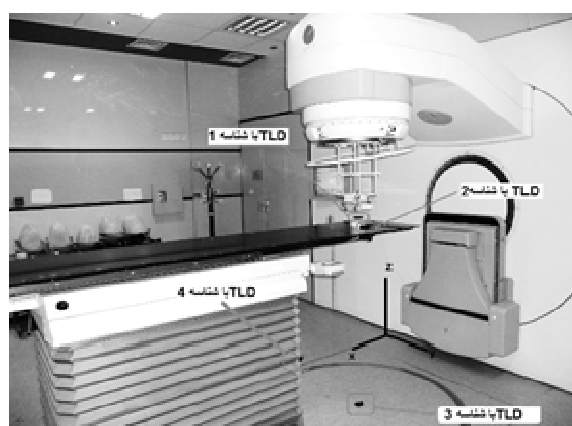
جایی که:

TL = میزان قرائت هر TLD توسط دستگاه قرائت‌گر

ECC = ضریب تصحیح تراشه



شکل ۴: نمای کلی از محل قراردادن TLD‌های GR۲۰۰ برای آزمایش در انرژی ۱۰ MeV



شکل ۵: نمای کلی از محل قراردادن TLD‌های ۷۰۰ برای آزمایش در انرژی ۱۵ MeV

است. این نتایج در واحد زمان محاسبه شده و مبین مقدار آلدگی فوتون ترمزی ناشی از باریکه‌های الکترونی شتاب دهنده خطی الکترون Precise در نقاط مختلف آن. همان‌طور که در منحنی (۶) و جدول (۲) مشاهده می‌شود، میزان تولید پرتو ترمزی در

### ۳. نتایج

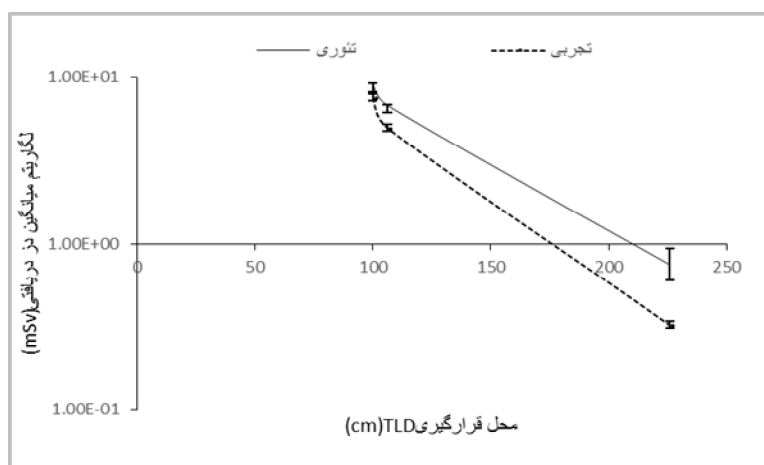
نتایج اندازه‌گیری‌ها به وسیله آشکارسازهای ترمولومینسانس (به طور تجربی) محاسبه شده (به روش مونت کارلو) برای دو انرژی ۱۰ و ۱۵ MeV در جداول (۲) و (۳) نمایش داده شده

آنکه دز فوتون ترمیزی قرائت شده توسط TLD با شناسه ۴ به کمترین مقدار میان قرائت‌های انجام شده می‌رسد و مبین این موضوع است که در نقاط دورتر، این آلدگی تقریباً به دز زمینه نزدیک خواهد شد. در واقع این رفتار از آنجا توجیه می‌شود که اندازه‌گیری‌های انجام شده برای نقاطی است که خارج از فانتوم قرار گرفته‌اند و این موضوع که میزان فوتون ترمیزی تولیدی در موادی با چگالی کم ناچیز است، موجب می‌شود که نمودار بهشدت کاهنده شود. در منحنی (۷) نیز مشاهده می‌شود که تولید پرتو ترمیزی در شبیه‌سازی و تجربه برای نقاط انتخابی از روند مشابهی پیروی می‌کند.

شبیه‌سازی و تجربه برای نقاط انتخابی از روند مشابهی پیروی می‌کند. همچنین TLD با شناسه L۳ که نزدیک‌ترین دزیمتر به سر شتاب‌دهنده است، بیشترین قرائت دز را نشان می‌دهد. روند کاهش دز در هر دو منحنی در شکل (۶)، مبین این موضوع است که وجود فانتوم بر سر راه باریکه الکترونی موجب تولید شدن سهمی از فوتون ترمیزی می‌شود که این سهم مانع از افت سریع دز فوتون ترمیزی، داخل فانتوم شده است. در جدول (۳) نیز ملاحظه می‌شود TLD با شناسه ۱ که نزدیک‌ترین دزیمتر به سر شتاب‌دهنده است، بیشترین قرائت دز را نشان می‌دهد. با افزایش فاصله از سر شتاب‌دهنده دز بهشدت کاهنده می‌شود تا

جدول ۲: مقایسه نتایج تجربی و شبیه‌سازی حاصل از پرتوگیری TLD‌های قرار داده شده در نقاط مختلف فانتوم و اتاق در انرژی  $10\text{ MeV}$

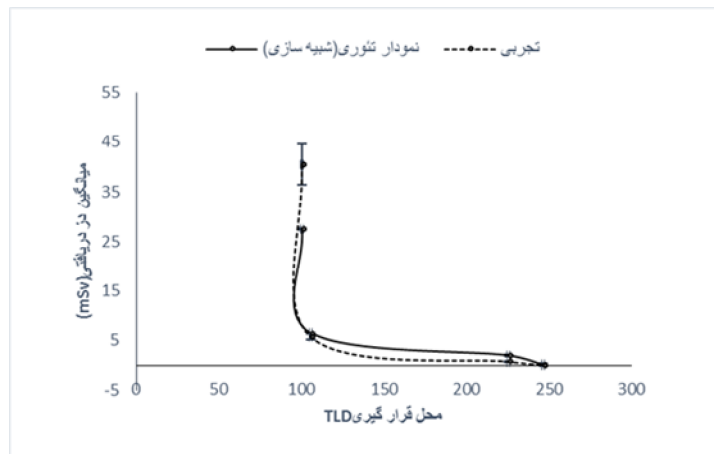
شناسه TLD	فاصله از مبدأ (cm)	محل قرارگیری TLD ها بر حسب	میانگین دز دریافتی در شبیه‌سازی در انرژی $10\text{ MeV}$ (mSv)	درصد خطای شبیه‌سازی در دریافتی در تجربه (mSv)	میانگین دز دریافتی در شبیه‌سازی (mSv)	میانگین دز در شتاب دهنده
L۳	۹۹/۹۶	روی سطح قاعده بالایی فانتوم و در مرکز آن	۹/۰۳	%۹/۹	۷/۵۶	۷/۵۶
L۱۲	۱۰۶/۱۱	داخل فانتوم به فاصله ۵.۵cm از قاعده بالایی و ۲cm از مرکز فانتوم	۷۷۸	%۸/۸	۴/۹۲	۴/۹۲
L۶	۲۲۵/۹۶	زیر تخت و روی زمین درست در محل مبدأ	۰/۷۴۷	%۱۹/۵	۰/۳۳	۰/۳۳



شکل ۶: منحنی مقایسه نتایج حاصل از شبیه‌سازی و آزمایش در انرژی  $10\text{ MeV}$

جدول ۳: مقایسه نتایج تجربی و شبیه‌سازی حاصل از پرتوگیری TLD‌های قرار داده شده در نقاط مختلف فانتوم و اتاق در انرژی  $15\text{MeV}$ 

شناختی	محل قرارگیری TLDها	برحسب فاصله از مبدأ(cm)	میانگین دز درصد خطای دریافتی در شبیه‌سازی در انرژی $15\text{MeV}$	میانگین دز دریافتی در شبیه‌سازی	درصد خطای دریافتی در تجربه (mSv)
۱	مرکز قاعده بالای فانتوم	۱۰۰/۵۲	۴۰/۵۲	%۳/۱	۲۷/۵
۲	کنار فانتوم به فاصله ۵/۵cm از مرکز فانتوم	۱۰۵/۸	۵/۷۲	%۵	۶/۴۹
۳	زیر تخت و روی زمین درست در محل مبدأ	۲۲۵/۵۲	۰/۷۲۱	%۱۲/۷	۱/۹۶
۴	روی زمین در فاصله یک متری از مبدأ y	۲۴۶/۴۸	۰/۰۳۵۴	%۱۷/۳	۰/۰۹

شکل ۷: منحنی مقایسه نتایج حاصل از شبیه‌سازی و آزمایش در انرژی  $15\text{MeV}$ 

منحنی (۸) مشاهده می‌شود، در هر دو انرژی  $10$  و  $15\text{MeV}$  شار فوتون ترمزی واقع در کولیماتور اولیه نسبت به دیگر اجزا بیشتر است. اگر هر دو منحنی در شکل (۸) با یکدیگر مقایسه شود، مشاهده می‌شود که شار فوتون ترمزی تولیدشده ناشی از برهم‌کش الکترون با اجزای شتابدهنده در انرژی  $15\text{MeV}$ ، بیشتر از انرژی  $10\text{MeV}$  است. این رفتار از آنجا توجیه می‌شود که با افزایش انرژی میزان تولید تابش ترمزی افزایش می‌یابد. در جدول (۴) نیز مشاهده می‌شود در یک انرژی خاص سهم فویل پراکننده اولیه که از عناصر سنگین ساخته شده، در تولید تابش ترمزی از فویل پراکننده ثانویه که از عناصر سبک ساخته شده، بیشتر است و این موضوع تصدیق‌کننده این حقیقت است که تولید تابش ترمزی از موادی با عدد اتمی بالاتر، بیشتر خواهد بود. همچنین ضخامت فویل‌ها در انرژی  $15\text{MeV}$

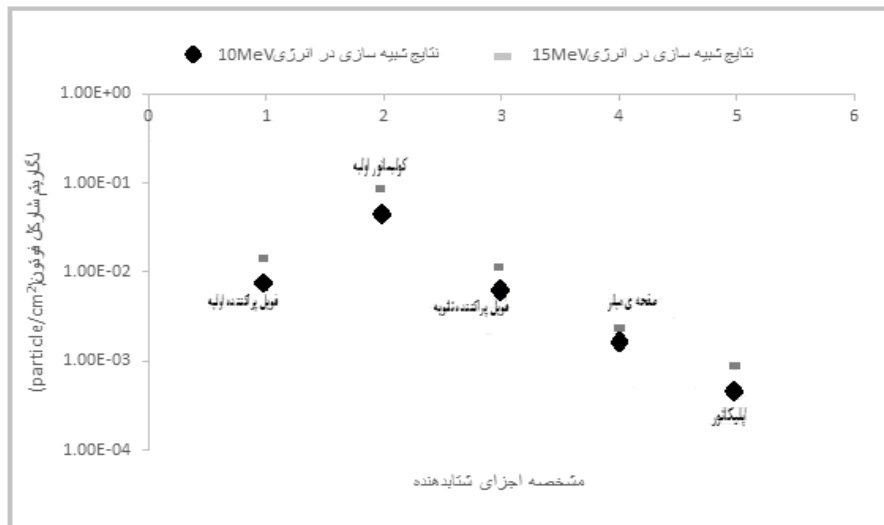
همان‌طور که اشاره شد، اجزای سر شتابدهنده خطی درمانی به‌دلیل آنکه معمولاً از عناصر سنگین نظیر سرب، تنگستن، نیکل و تانتالوم ساخته شده‌اند، نقش بسزایی در تولید اشعه ترمزی ناشی از برهم‌کنش پرتوهای الکترونی با آن‌ها دارد. به‌دلیل همخوانی خوبی که بین نتایج تجربی و شبیه‌سازی در دو انرژی  $10$  و  $15\text{MeV}$  به‌دست آورده شد، بنابراین می‌توان با استفاده از شبیه‌سازی سر دستگاه شتابدهنده خطی، روند تولید فوتون ترمزی را در این اجزا بررسی کرد. در ادامهً منحنی (۸) آورده شده که مجموع کل شار فوتون ترمزی تولیدشده در این اجزا را در دو انرژی  $10$  و  $15\text{MeV}$  باهم مقایسه می‌کند. اطلاعات مربوط به محل قرارگیری هریک از اجزا با اعداد مشخصه‌ای که به آن نسبت داده شده، در جدول (۴) آورده شده است. همان‌طور که در

انرژی الکترون‌ها افزایش یابد. این محاسبات به‌ازای یک ذره الکترون در نظر گرفته شده است.

بیشتر از انرژی  $10\text{ MeV}$  است، بنابراین باریکه الکترونی باید مسیر بیشتری را در فویل‌های موجود در سر شتاب‌دهنده در انرژی  $15\text{ MeV}$  طی کند و این موضوع منجر می‌شود که افت

جدول ۴: میزان شار فوتون تولیدی ناشی از برهم‌کنش الکترون در هریک از اجزا در انرژی‌های  $10$  و  $15\text{ MeV}$

مشخصه	نام اجزا	شار فوتون تولیدی در انرژی $10\text{ MeV}$ (particle/cm $^2$ )	درصد خطای شبیه‌سازی در انرژی $15\text{ MeV}$	شار فوتون تولیدی در شبیه‌سازی در انرژی $15\text{ MeV}$	درصد خطای شبیه‌سازی در انرژی $10\text{ MeV}$
۱	فویل پراکنده اولیه	۰/۰۰۷	%۲/۷	۰/۰۱۳	%۲/۶
۲	کولیماتور اولیه	۰/۰۴۱	%۰/۶	۰/۰۸	%۰/۹
۳	فویل پراکنده ثانویه	۰/۰۰۵۶	%۰/۹۷	۰/۰۱۱	%۰/۹۷
۴	صفحة میلر	۰/۰۰۱۶	%۲/۳۷	۰/۰۰۰۲	%۲/۳۷
۵	ابلیکاتور	۰/۰۰۰۳۸	%۰/۰۵	۰/۰۰۰۸۴	%۰/۰۵



شکل ۸: نمودار مقایسه مجموع شار فوتون ترمی تولید شده ناشی از برهم‌کنش الکترون در هریک از اجزای در انرژی‌های  $10$  و  $15\text{ MeV}$

نمایش می‌دهند. اگر در نقطه مذکور، دز الکترون فرودی را نیز از طریق شبیه‌سازی محاسبه کنیم، متوجه خواهیم شد که دز فوتون ترمی (دز ناخواسته) در این ناحیه نسبت به دز الکترون فرودی به طور متوسط  $5-2$  درصد است. با توجه به همخوانی مناسب بین نتایج شبیه‌سازی و تجربه در دو انرژی  $10$  و

#### ۴. بحث و نتیجه‌گیری

نتایج به دست آمده از محاسبات (شبیه‌سازی و تجربه) در هر دو انرژی  $10$  و  $15\text{ MeV}$  این واقعیت را بیان کردند که دز به دست آمده توسط TLD‌هایی که دقیقاً زیر گانتری و در مرکز فانتوم قرار داشتند، بیشینه دز تولیدی پرتوی فوتون ترمی را

## ۵. سپاسگزاری

نویسنده‌گان بر خود لازم می‌دانند از سازمان انرژی اتمی و دانشگاه شهید بهشتی به لحاظ همکاری بی‌دریغ آنان که در انجام این تحقیق مبذول شد، نهایت تشکر و قدردانی خود را ابراز کنند.

۱۵MeV توان اظهار داشت که کد مونت کارلوی MCNPX توانایی لازم برای انجام محاسبات دقیق در رادیوتراپی را دارد. بنابراین می‌توان نقشه‌ای جامع و کامل از میزان ذلکوگی فوتونی تولیدشده در حین درمان الکترون‌تراپی بیماران، برای اتفاق رادیوتراپی و همچنین سالن انتظار بیماران بخش رادیوتراپی بیمارستان آیت‌الله خوانساری اراک را با استفاده از شبیه‌سازی مونت کارلو به دست آورد.

## ۶. مراجع

- [1] F.M. Khan. The physics of radiation therapy. Philadelphia: Lippincott Williams & Wilkins, (2003).
- [2] G. G. Zhang, D.W.O. Rogers, J. E. Cygler, T. R. Mackie. Monte Carlo investigation of electron beam output factors vs size of square cut out. *Med Phys*, 26(5), (1999), 743–750.
- [3] H. Cember. Introduction to Health Physics. McGraw Hill, New- York, (1996).
- [۴] جباری، نصرالله. هاشمی ملایری، بیژن. ارزیابی آلودگی فوتونی ناشی از پرتوهای ترمی در باریکه‌های الکترونی یک شتاب‌دهنده خطی پزشکی نپتون مدل pc ۱۰ به روش مونت کارلو. *مجله فیزیک پزشکی ایران*، دوره (۶)، شماره ۱، پیاپی (۲۲)، (بهار) ۸۸.
- [5] H. A. Nedaie, M. A. Mosleh-Shirazi, M. Shariary, H. Gharaati, M. Allahverdi. Monte Carlo study of electron dose distributions produced by the ELEKTA precise linear accelerator. *Rep Pract Oncol Radiother*, 11(6), (2006), 287-292.
- [6] C. Kwo-Ping, W. Zhi-Wei, S. An-Cheng. Determining optimization of the initial parameters in Monte Carlo simulation for linear accelerator radiotherapy. *Radiation Physics and Chemistry*, 95, (2014), 161–165.
- [7] B. Mukherjee, D. Makowski, S. Simrock. Dosimetry of high-energy electron LINAC produced photo neutrons and the Bremsstrahlung gamma-rays using TLD-500 and TLD-700 dosimeter pairs. *Nuclear Instruments and Methods in Physics Research A*, 545, (2005), 830–841.
- [8] T. Shimozato, K. Okudaira, H. Fuse, K. Tabushi. Monte Carlo simulation and measurement of radiation leakage from applicators used in external electron radiotherapy. *Physica Medica*, 29, (2013), 388-396.
- [9] M. Zarza Moreno. Monte Carlo simulations for dosimetric verification in photon and electron beam radiotherapy. *UNIVERSIDADE NOVA DE LISBOA*, (2005).
- [10] B. Juste, M.E. Mota, R. Miró, S. Gallardo, G. Verdú. Mote Carlo modelling of the ELEKTA precise linear accelerator: validation of dose distribution in heterogeneous water phantom. Joint International Topical Meeting on Mathematics & Computation and Supercomputing in Nuclear Applications, Monterey, California, American Nuclear Society, LaGrange Park, IL (2007).
- [11] F. Herbert Attix. Introduction to radiological physics and radiation Dosimetry. University of Wisconsin Medical School, John Wiley & Sons, (1986).